

ПОПЕРЕЧНА ТЕРМОЕРС І ВОЛЬТ-ВАТНА ЧУТЛИВІСТЬ АНІЗОТРОПНОГО ОПТИКОТЕРМОЕЛЕМЕНТА У ВИПАДКУ ТЕРМОСТАТУВАННЯ ЙОГО БОКОВИХ ГРАНЕЙ

Проведено розрахунок поперечної термоЕРС і дослідження вольт-ватної чутливості анізотропного оптикотермоелемента для випадку термостатування його бокових граней.

The calculation of transverse thermoelectromotive is carried out and volt-watt sensitivity of anisotropic optic thermoelement is investigated for case of thermostating its lateral face.

Розглянемо прямокутну пластину розмірами $a \times b \times c$ (рис.1) з матеріалу, анізотропного за коефіцієнтами термоЕРС $\hat{\alpha}$ і теплопровідності $\hat{\chi}$. Тензори $\hat{\alpha}$ і $\hat{\chi}$ мають вигляд :

$$\hat{\alpha} = \begin{pmatrix} \alpha_{\parallel} \sin^2 \varphi + \alpha_{\perp} \cos^2 \varphi & (\alpha_{\parallel} - \alpha_{\perp}) \sin \varphi \cos \varphi & 0 \\ (\alpha_{\parallel} - \alpha_{\perp}) \sin \varphi \cos \varphi & \alpha_{\parallel} \cos^2 \varphi + \alpha_{\perp} \sin^2 \varphi & 0 \\ 0 & 0 & \alpha_{\perp} \end{pmatrix},$$

$$\hat{\chi} = \begin{pmatrix} \chi_{\parallel} \sin^2 \varphi + \chi_{\perp} \cos^2 \varphi & (\chi_{\parallel} - \chi_{\perp}) \sin \varphi \cos \varphi & 0 \\ (\chi_{\parallel} - \chi_{\perp}) \sin \varphi \cos \varphi & \chi_{\parallel} \cos^2 \varphi + \chi_{\perp} \sin^2 \varphi & 0 \\ 0 & 0 & \chi_{\perp} \end{pmatrix}. \quad (1)$$

На верхню грань термоелемента 1 падає променевий потік енергії густиною q_0 . Бокові грані знаходяться в теплоконтакті із термостатом 2 при температурі $T=T_0$, а нижня і торцеві грані адиабатично ізольовані. Рівномірний монохроматичний потік густиною q_0 і довжиною хвилі λ_0 , пройшовши через таку пластину, зумовлює появу в ній градієнта температури і однозначно зв'язаної з ним поперечної термоЕРС. При наявності внутрішніх джерел тепла розподіл температури в пластині знаходимо із закону теплопровідності [1], який для стаціонарного випадку $\frac{\partial T}{\partial t} = 0$ в наближенні $\chi_{12} \ll \chi_{22}$ має такий вигляд

$$\xi^2 \frac{\partial^2 T}{\partial y^2} + \frac{\partial^2 T}{\partial z^2} + \frac{q_0 \gamma}{\chi_{33}} e^{-\gamma(b-y)} = 0, \quad (2)$$

де $\xi^2 = \frac{\chi_{22}}{\chi_{33}}$, γ – коефіцієнт поглинання матеріалу пластини.

Крайові умови для рівняння теплопровідності (2) вибираємо так:

$$\left. \frac{\partial T}{\partial x} \right|_{x=0} = \left. \frac{\partial T}{\partial x} \right|_{x=a} = 0, \quad \left. \frac{\partial T}{\partial y} \right|_{y=0} = \left. \frac{\partial T}{\partial y} \right|_{y=b} = 0,$$

$$T|_{z=0} = T_0, \quad T|_{z=c} = T_0. \quad (3)$$

Функція $\cos \omega_n y$ – власна функція задачі Штурма-Ліувіля

$$\frac{d^2 v}{dy^2} + \omega^2 v = 0, \quad \left. \frac{\partial v}{\partial y} \right|_{y=0} = 0, \quad \left. \frac{\partial v}{\partial y} \right|_{y=b} = 0, \quad (4)$$

яка відповідає власному значенню $\omega_n = n\pi/b$, де $n=0,1,2,\dots$. Система $\{\cos \omega_n y\}_{n=0}^{\infty}$ є повною, замкнутою, ортогональною системою функцій на відрізку $[0,b]$, що дозволяє ставити питання про розклад функцій $v(y)$ в ряд Фур'є за цією системою.

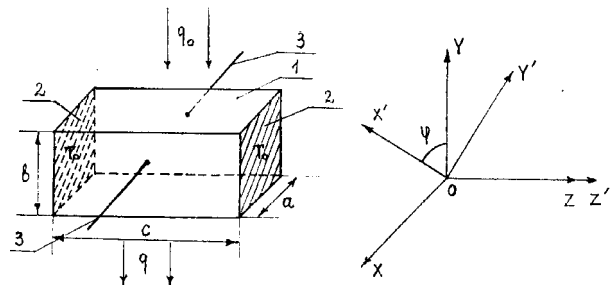


Рис.1. Схема АОТ: анізотропна пластинка (1); термостат (2); електровиводи (3). Праворуч – лабораторна система координат XYZ і орієнтація кристалографічних осей X'Y'Z' монокристалічної пластинки 1.

Тоді функція $v(y)$ за своїми зображенням [2]

$$\hat{\Phi}_n[v(y)] = \int_0^b v(y) \cos \omega_n y dy \equiv v_n \quad (5)$$

однозначно відновлюється за правилом

$$v(y) = \hat{\Phi}_n^{-1}[v_n] = \frac{1}{b} \sum_{n=0}^{\infty} \delta_n v_n \cos \omega_n y, \quad (6)$$

$$\text{де } \delta_n = \begin{cases} 1, & n = 0 \\ 2, & n = 1, 2, \dots \end{cases}$$

Застосувавши до задачі (2)-(3) оператор $\hat{\Phi}_n$ за правилом (5), внаслідок тотожності

$$\hat{\Phi}_n \left[\xi^2 \frac{\partial^2 T}{\partial y^2} \right] = \int_0^b \xi^2 \frac{\partial^2 T}{\partial y^2} \cos \omega_n y dy \equiv -\xi^2 \omega_n^2 T_n(z),$$

$$\text{де } T_n(z) = \int_0^b T(y, z) \cos \omega_n y dy,$$

одержимо задачу побудови розв'язку рівняння

$$\frac{d^2 T_n(z)}{dz^2} - \xi^2 \omega_n^2 T_n(z) = -\theta_n, \quad z \in (0, c) \quad (7)$$

$$\theta_n = \int_0^b \frac{q_0 \gamma}{\chi_{33}} e^{-\gamma(b-y)} \cos \omega_n y dy \quad (8)$$

за крайовими умовами

$$\begin{aligned} T_n(z)|_{z=0} &= T_{0n}, \quad T_n(z)|_{z=c} = T_{0n}, \\ T_{0n} &= \int_0^b T_0 \cos \omega_n y dy = \begin{cases} T_0 b, & n = 0 \\ 0, & n = 1, 2, \dots \end{cases} \end{aligned} \quad (9)$$

При $n=0$ розв'язок задачі (7)-(9) такий

$$T_0(z) = T_0 b + \frac{q_0 (e^{-\gamma b} - 1)}{2 \chi_{33}} (z^2 - cz). \quad (10)$$

Для $n>0$ загальний розв'язок неоднорідного рівняння (7) шукаємо у вигляді

$$T_n(z)|_{n>0} = T_n^{\text{одн.}}(z)|_{n>0} + T_n^{\text{неодн.}}(z)|_{n>0}. \quad (11)$$

Загальний розв'язок однорідного рівняння (7) такий

$$T_n^{\text{одн.}}(z)|_{n>0} = B_{1n} \text{ch} \omega_n z + B_{2n} \text{sh} \omega_n z. \quad (12)$$

Для часткового розв'язку неоднорідного рівняння (7) із врахуванням (8) одержимо

$$T_n^{\text{неодн.}}(z)|_{n>0} = \frac{q_0 \gamma^2}{\chi_{33} \xi^2 \omega_n^2 (\omega_n^2 + \gamma^2)} \frac{(-1)^n - e^{-\gamma b}}{\omega_n^2 + \gamma^2}. \quad (13)$$

Коефіцієнти B_{1n} і B_{2n} знаходимо за крайовими умовами (9) для $n>0$:

$$\begin{aligned} B_{1n} &= -\frac{q_0 \gamma^2}{\chi_{33} \xi^2 \omega_n^2 (\omega_n^2 + \gamma^2)} \frac{(-1)^n - e^{-\gamma b}}{\omega_n^2 + \gamma^2}, \\ B_{2n} &= B_{1n} \frac{\text{ch}(\xi \omega_n c) - 1}{\text{sh}(\xi \omega_n c)}. \end{aligned} \quad (14)$$

Тоді загальний розв'язок неоднорідного диференціального рівняння (7) для $n \geq 0$ при врахуванні (10)-(14) матиме вигляд

$$\begin{aligned} T_n(z) &= T_0 b + \frac{q_0 (e^{-\gamma b} - 1)}{2 \chi_{33}} (z^2 - cz) + \\ &+ \frac{q_0 \gamma^2}{\chi_{33} \xi^2 \omega_n^2 (\omega_n^2 + \gamma^2)} \frac{(-1)^n - e^{-\gamma b}}{\omega_n^2 + \gamma^2} \times \\ &\times \left[1 + \frac{\text{sh}(\xi \omega_n (z-c)) - \text{sh}(\xi \omega_n z)}{\text{sh}(\xi \omega_n c)} \right]. \end{aligned} \quad (15)$$

Застосовуючи обернене інтегральне косинус-перетворення Фур'є (6) до розв'язку (15), одержимо такий вираз для розподілу температури АОТ

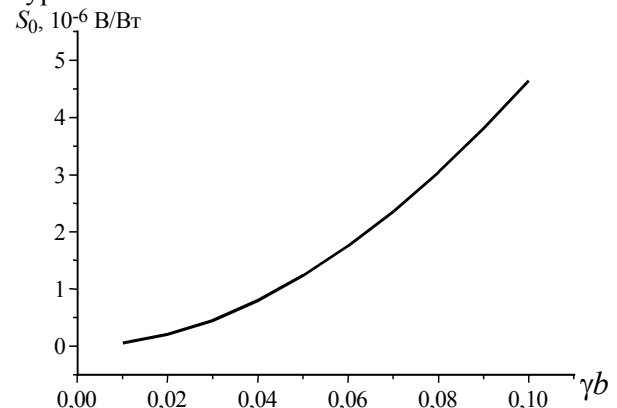


Рис.2. Залежність вольт-ватної чутливості S_0 АОТ із ZnAs_2 у випадку оптичного пропускання ($\gamma b \ll 1$) при двобічному термостатуванні.

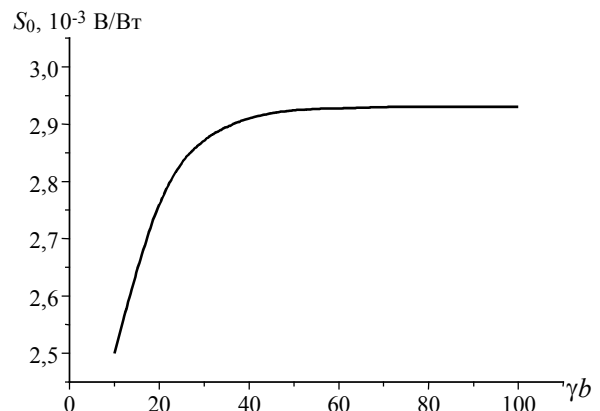


Рис.3. Залежність вольт-ватної чутливості S_0 АОТ із ZnAs_2 у випадку поверхневого поглинання ($\gamma b \gg 1$) при двобічному термостатуванні.

$$T(y, z) = T_0 + \frac{q_0(e^{-\gamma b} - 1)}{2b\chi_{33}}(z^2 - cz) + \frac{2q_0\gamma^2}{b\chi_{22}} \sum_{n=1}^{\infty} \frac{[(-1)^n - e^{-\gamma b}]}{\omega_n^2(\omega_n^2 + \gamma^2)} \cos \omega_n y \times \left[1 + \frac{\operatorname{sh}\left(\sqrt{\frac{\chi_{22}}{\chi_{33}}}\omega_n(z-c)\right) - \operatorname{sh}\left(\sqrt{\frac{\chi_{22}}{\chi_{33}}}\omega_n z\right)}{\operatorname{sh}\left(\sqrt{\frac{\chi_{22}}{\chi_{33}}}\omega_n c\right)} \right]. \quad (16)$$

Поперечна термоЕРС згідно з [3] визначається співвідношенням

$$\varepsilon = \frac{1}{bc} \int_0^b dy \int_0^c dz \int_0^a E_x^T dx, \quad (17)$$

де $E_x^T = \alpha_{12} \partial T / \partial y$. Підставляючи (16) в (17), одержуємо

$$\varepsilon = \frac{4q_0\alpha_{12} a}{\chi_{22} b^2} \times \sum_{k=0}^{\infty} \frac{(1+e^{-\gamma b})(\gamma b)^2}{(2k+1)^2 \pi^2 [(2k+1)^2 \pi^2 + (\gamma b)^2]} \times \left[1 + \frac{2b}{(2k+1)\pi c \sqrt{\chi_{33}}} \frac{1 - \operatorname{ch}\left(\sqrt{\frac{\chi_{22}}{\chi_{33}}}\frac{(2k+1)\pi c}{b}\right)}{\operatorname{sh}\left(\sqrt{\frac{\chi_{22}}{\chi_{33}}}\frac{(2k+1)\pi c}{b}\right)} \right]. \quad (18)$$

Вольт-ватна чутливість S_0 розглянутого АОТ визначається таким співвідношенням

$$S_0 = \frac{\varepsilon}{q_0 a c} = \frac{4\alpha_{12}}{\chi_{22} c} \times \sum_{k=0}^{\infty} \frac{(1+e^{-\gamma b})(\gamma b)^2}{(2k+1)^2 \pi^2 [(2k+1)^2 \pi^2 + (\gamma b)^2]} \times \left[1 + \frac{2b}{(2k+1)\pi c \sqrt{\chi_{33}}} \frac{1 - \operatorname{ch}\left(\sqrt{\frac{\chi_{22}}{\chi_{33}}}\frac{(2k+1)\pi c}{b}\right)}{\operatorname{sh}\left(\sqrt{\frac{\chi_{22}}{\chi_{33}}}\frac{(2k+1)\pi c}{b}\right)} \right]. \quad (19)$$

На рис.2, 3 наведено графіки залежності вольт-ватної чутливості від γb у випадках оптичного пропускання і поверхневого поглинання для АОТ із ZnAs_2 при двобічному термостатуванні.

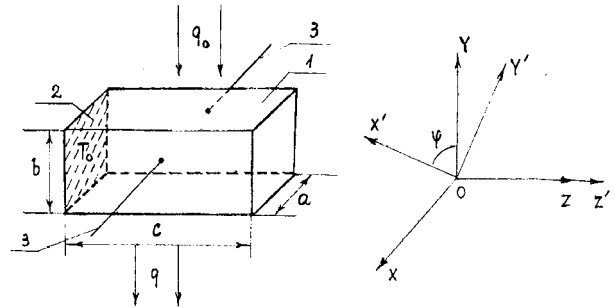


Рис.4. Схема АОТ: анізотропна пластина (1); термостат (2); електроконтакти (3).

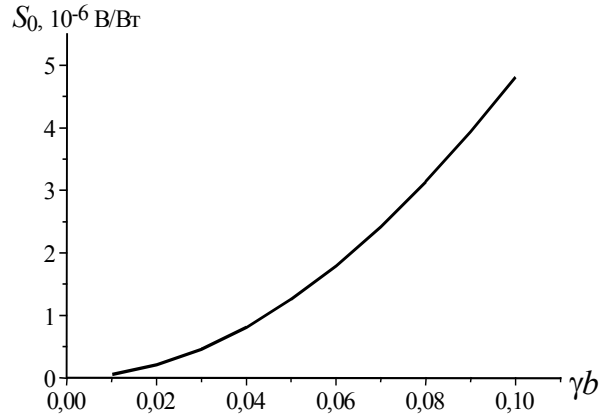


Рис.5. Залежність S_0 від γb для АОТ із ZnAs_2 у випадку $\gamma b \ll 1$ при однобічному термостатуванні.

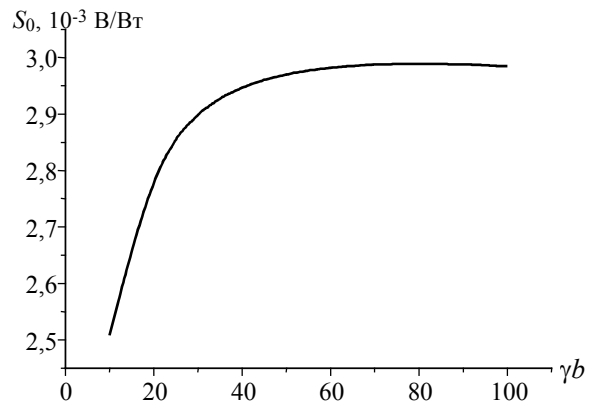


Рис.6. Залежність S_0 від γb для АОТ із ZnAs_2 у випадку $\gamma b \gg 1$ при однобічному термостатуванні.

Вольт-ватна чутливість АОТ, ліва бокова грань якого термостатована (рис.4), визначається за допомогою розподілу температури, одержаного з рівняння теплопровідності (2) за крайовими умовами

$$\left. \frac{\partial T}{\partial x} \right|_{x=0} = \left. \frac{\partial T}{\partial x} \right|_{x=a} = 0, \quad \left. \frac{\partial T}{\partial y} \right|_{y=0} = \left. \frac{\partial T}{\partial y} \right|_{y=b} = 0, \quad T|_{z=0} = T_0, \quad \left. \frac{\partial T}{\partial z} \right|_{z=c} = 0. \quad (20)$$

і має такий вигляд

$$S_0 = \frac{4\alpha_{12}}{\chi_{22}c} \sum_{k=0}^{\infty} \frac{(1 + e^{-\gamma b})(\gamma b)^2}{(2k+1)^2 \pi^2 [(2k+1)^2 \pi^2 + (\gamma b)^2]} \times \left\{ 1 - \frac{b}{(2k+1)\pi c} \sqrt{\frac{\chi_{33}}{\chi_{22}}} \operatorname{th} \left(\sqrt{\frac{\chi_{22}}{\chi_{33}}} \frac{(2k+1)\pi c}{b} \right) \right\}. \quad (21)$$

Співвідношенням (21) задається і вольт-ватна чутливість АОТ, права бокова грань якого термостатована, а всі інші – адіабатично ізольовані. На рис.5, 6 наведено графіки залежності вольт-ватної чутливості АОТ, виготовленого із ZnAs₂ і термостатованого через ліву бокову грань від γb у випадках оптичного пропускання і поверхневого поглинання.

Із порівняння графіків залежності S_0 АОТ від γb (рис.2, 3 і рис.5, 6) впливає, що вольт-ватна чутливість АОТ, термостатованих через ліву або праву бокову грань більша, ніж у випадку термостатування обох бокових граней. Застосування таких АОТ дозволяє проводити реєстрацію променевих потоків з найменшим спотворенням їх енергії. В цьому випадку непотрібно оптично прозорих тепловідводів і клеїв, що веде до зростання часової стабільності роботи приладів на їх основі.

СПИСОК ЛІТЕРАТУРИ

1. *Лыков А.В.* Теория теплопроводности. - М.: Высшая школа. 1967.
2. *Ленюк М.П.* Интегральные преобразования с раздельными переменными (Фурье-Ханкеля). - Киев, 1983. - (Препр. / Институт математики АН УССР: № 83.4).
3. *Снарский А.А.* ЭДС термоэлементов, использующих анизотропию термоЭДС // ФТП. - 1977. - **11**, вып.10. - С.2053-2055.